

การวิเคราะห์ปริมาณและผลของสารประกอบควอเทอร์นารีแอม โมเนียม
ในกากน้ำตาลย่อยต่อการหมักเอธานอลด้วยยีสต์



นายยุทธพงษ์ ประถมจินดา

วิทยานิพนธ์นี้เป็นส่วนหนึ่งของการศึกษาตามหลักสูตรปริญญาวิทยาศาสตรมหาบัณฑิต
สาขาวิชาเทคโนโลยีทางชีวภาพ
บัณฑิตวิทยาลัย จุฬาลงกรณ์มหาวิทยาลัย
ปีการศึกษา 2540
ISBN 974 - 638 - 891 - 6
ลิขสิทธิ์ของบัณฑิตวิทยาลัย จุฬาลงกรณ์มหาวิทยาลัย

26 พ.ค. 2548

I 20503192

QUANTITATIVE ANALYSIS AND EFFECTS OF QUATERNARY AMMONIUM
COMPOUNDS IN CANE MOLASSES FOR ETHANOL FERMENTATION BY YEAST

Mr. Yuttapong Prathomjinda

A Thesis Submitted in Partial Fulfillment of the Requirements

for the Degree of Master of Science in Biotechnology

Programme of Biotechnology

Graduate School

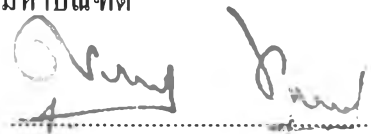
Chulalongkorn University

Academic Year 1997


ISBN 974 - 638 - 891 - 6

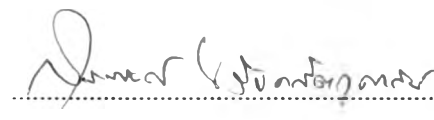
หัวข้อวิทยานิพนธ์ การวิเคราะห์ปริมาณและผลของสารประกอบควอเทอร์นารีแอมโมเนียม
ในกากน้ำตาลย่อยต่อการหมักเอธานอลด้วยยีสต์
โดย นายยุทธพงษ์ ประถมจินดา
สาขาวิชา เทคโนโลยีทางชีวภาพ
อาจารย์ที่ปรึกษา ผู้ช่วยศาสตราจารย์ ดร. สุรพงศ์ นวังคสัตถุศาสน์
อาจารย์ที่ปรึกษาร่วม อาจารย์วาสนา โตเลี้ยง

บัณฑิตวิทยาลัย จุฬาลงกรณ์มหาวิทยาลัย อนุมัติให้บัณฑิตวิทยาลัยฉบับนี้เป็นส่วนหนึ่ง
ของการศึกษาตามหลักสูตรปริญญาวิทยาศาสตรบัณฑิต

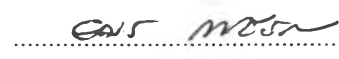

..... คณบดีบัณฑิตวิทยาลัย
(ศาสตราจารย์ นายแพทย์ สุภวัฒน์ ชุตินวงศ์)


คณะกรรมการสอบวิทยานิพนธ์


..... ประธานกรรมการ
(ผู้ช่วยศาสตราจารย์ ดร. สุมธ ดันตระเชียร)


..... อาจารย์ที่ปรึกษา
(ผู้ช่วยศาสตราจารย์ ดร. สุรพงศ์ นวังคสัตถุศาสน์)


..... อาจารย์ที่ปรึกษาร่วม
(อาจารย์วาสนา โตเลี้ยง)


..... กรรมการ
(ผู้ช่วยศาสตราจารย์ ดร. อมร เพชรสม)


..... กรรมการ
(รองศาสตราจารย์ ดร. มานะ ศรียุทธศักดิ์)

พิมพ์จำหน่ายที่คัดต่อวิทยานิพนธ์ภายในกรอบสี่เหลี่ยมนี้เพียงแผ่นเดียว

ยุทธพงษ์ ประถมจินดา : การวิเคราะห์ปริมาณและผลของสารประกอบควอเทอร์นารีแอมโมเนียมในกากน้ำตาลอ้อยต่อการหมักเอทานอลด้วยยีสต์ (QUANTITATIVE ANALYSIS AND EFFECTS OF QUATERNARY AMMONIUM COMPOUNDS IN CANE MOLASSES FOR ETHANOL FERMENTATION BY YEAST) อาจารย์ที่ปรึกษา : ผศ. ดร. สุรพงศ์ นวังคส์ตฤศานัน, อาจารย์ที่ปรึกษาร่วม : อาจารย์วาสนา โตเลี้ยง, 125 หน้า. ISBN 974 - 638 - 891 - 6

จากการวิเคราะห์หาปริมาณสารประกอบควอเทอร์นารีแอมโมเนียมในกากน้ำตาลอ้อย พบว่ามีสารประกอบควอเทอร์นารีแอมโมเนียมที่ใส่เติมน้ำอ้อย เพื่อควบคุมเชื้อจุลินทรีย์ในกระบวนการผลิตน้ำตาลตกค้างเหลืออยู่ในกากน้ำตาล โดยกากน้ำตาลจากโรงงาน A 1 กรัม มีปริมาณสารประกอบควอเทอร์นารีแอมโมเนียม 3.66 ไมโครกรัม ส่วนกากน้ำตาลจากโรงงาน B, C และ D มีปริมาณสารประกอบควอเทอร์นารีแอมโมเนียม 4.38 , 2.89 และ 6.73 ไมโครกรัมตามลำดับ จากการศึกษาผลของสารประกอบควอเทอร์นารีแอมโมเนียม ต่อการเจริญและการหมักเอทานอลด้วยเชื้อยีสต์ *Saccharomyces* sp. ในกากน้ำตาลเจือจางให้มีความเข้มข้นของกากน้ำตาลพอเหมาะสำหรับการหมักเอทานอล คือประมาณ 20 % โดยน้ำหนักต่อปริมาตร ผลการทดลองพบว่าความเข้มข้นของสารประกอบควอเทอร์นารีแอมโมเนียมมากกว่า 50 ไมโครกรัมต่อมิลลิลิตร ในอาหารกากน้ำตาลจึงมีผลยับยั้งการเจริญและการหมักแอลกอฮอล์ สำหรับการลดปริมาณสารประกอบควอเทอร์นารีแอมโมเนียมในกากน้ำตาลด้วยอุณหภูมิในช่วงเวลาต่างๆ พบว่าสารประกอบควอเทอร์นารีแอมโมเนียมจะสลายตัวด้วยความร้อนแต่อัตราการเกิดปฏิกิริยาช้ามาก โดยมีค่าคงที่ของอัตราของการเกิดปฏิกิริยาที่อุณหภูมิ 100, 110 และ 121 องศาเซลเซียส เท่ากับ 0.0021, 0.0035 และ 0.0054 (นาที)⁻¹ ตามลำดับ ดังนั้นจึงต้องใช้อุณหภูมิสูง และเวลานานกว่าสารประกอบควอเทอร์นารีแอมโมเนียมจะสลายตัว โดยมีค่าการลดลงครึ่งหนึ่งของปฏิกิริยาที่อุณหภูมิ 100, 110 และ 121 องศาเซลเซียส เป็นเวลาเท่ากับ 330, 198 และ 128.4 นาที ตามลำดับ

ภาควิชา
สาขาวิชา เทคโนโลยีทางชีวภาพ
ปีการศึกษา 2540

ลายมือชื่อนิติ
ลายมือชื่ออาจารย์ที่ปรึกษา
ลายมือชื่ออาจารย์ที่ปรึกษาร่วม โตเลี้ยง

C727152 : MAJOR BIOTECHNOLOGY

KEY WORD: QUATERNARY AMMONIUM COMPOUND / ETHANOL FERMENTATION / CANE MOLASSES

YUTTAPONG PRATHOMJINDA : QUANTITATIVE ANALYSIS AND EFFECTS OF QUATERNARY

AMMONIUM COMPOUNDS IN CANE MOLASSES FOR ETHANOL FERMENTATION BY YEAST.

THESIS ADVISOR : ASSIST. PROF. SURAPONG NAVANKASATTUSAS, Ph.D. AND THESIS CO-

ADVISOR : VASANA TOLIENG, M.Sc. 125 pp. ISBN 974 - 638 - 891 - 6

Quaternary ammonium compound which was added in raw juice for controlling microorganisms in sugar cane process of sugar factory, was left as residue in cane molasses. Analysis for quaternary ammonium salts in cane molasses revealed that 1 g of molasses from factories namely A, B, C and D contained 3.66, 4.38, 2.89 and 6.73 μg , respectively. The effect of quaternary ammonium salts on growth and ethanol fermentation of *Saccharomyces* sp. was studied in 20 % (w/v) diluted molasses. It was found that media of molasses with more than 50 $\mu\text{g}/\text{ml}$ of quaternary ammonium salts added could inhibit yeast growth and ethanol fermentation. Reduction of quaternary ammonium salts in molasses was investigated under various heating temperatures and times. It was found that the quaternary ammonium salts, decomposed under heating. Rate constant of decomposing reaction at 100 °C, 110 °C and 121 °C were 0.0021, 0.0035 and 0.0054 (min^{-1}), respectively. Half life for decaying at 100 °C, 110 °C and 121 °C were found to be 330, 198 and 128.4 min, respectively.

ภาควิชา.....

สาขาวิชา..... เทคโนโลยีทางชีวภาพ

ปีการศึกษา..... 2540

ลายมือชื่อนิสิต..... 

ลายมือชื่ออาจารย์ที่ปรึกษา..... 

ลายมือชื่ออาจารย์ที่ปรึกษาร่วม..... อาสนะ โทเลียง

กิตติกรรมประกาศ

วิทยานิพนธ์ฉบับนี้เป็นส่วนหนึ่งของการศึกษาในหลักสูตรปริญญาโทบริหารธุรกิจ ซึ่งสำเร็จ
ลุล่วงได้ด้วยความช่วยเหลืออย่างดียิ่งจาก ผศ. ดร. สุรพงศ์ นวังคสัตถุศาสน์ ที่กรุณาได้รับเป็น
อาจารย์ที่ปรึกษา และอาจารย์วาสนา โดเลียง อาจารย์ที่ปรึกษาร่วม ที่ได้ให้คำปรึกษา แนะนำ
และช่วยตรวจสอบแก้ไขวิทยานิพนธ์ฉบับนี้จนเสร็จสมบูรณ์ จึงขอขอบพระคุณอย่างสูงไว้ ณ ที่นี้

ขอขอบพระคุณ ผศ. ดร. สุเมธ ดันตระเชียร ที่กรุณาเป็นประธานกรรมการสอบวิทยา
นิพนธ์ และ ผศ. ดร. อมร เพชรสม ที่กรุณาเป็นกรรมการสอบวิทยานิพนธ์และให้ความช่วยเหลือ
ตลอดจนช่วยแก้ไขวิทยานิพนธ์ฉบับนี้ให้สมบูรณ์ยิ่งขึ้น และขอขอบพระคุณ รศ. ดร. มานะ
ศรียุทธศักดิ์ ที่กรุณาเป็นกรรมการสอบวิทยานิพนธ์ และให้คำแนะนำ ช่วยเหลือและแนวคิดที่
สำคัญยิ่งต่อการทำวิจัย รวมทั้งช่วยแก้ไขวิทยานิพนธ์ฉบับนี้ให้สมบูรณ์ยิ่งขึ้น

ขอขอบพระคุณ รศ. ดร. ไพเราะ ปิ่นพานิชการ ที่กรุณาให้คำแนะนำ แนวทางในการทำ
วิจัย และ รศ. ดร. นลิน นิลอุบล ที่กรุณาให้คำแนะนำ และขอขอบพระคุณ คณะผู้บริหารสถาบัน
เทคโนโลยีชีวภาพและวิศวกรรมพันธุศาสตร์ ที่กรุณาเอื้อเฟื้อสถานที่ อุปกรณ์ และสารเคมี และ
ขอขอบพระคุณบัณฑิตวิทยาลัย จุฬาลงกรณ์มหาวิทยาลัย ที่กรุณาให้ทุนอุดหนุนการวิจัย

ขอขอบพระคุณ คุณถกล ถวิลเดมิทรัพย์ คุณพินิพัฒน์ หารนวโชค คุณจกร เทพย์ปฏิภรณ์
คุณบวร เจริญมิตร คุณสงวนศรี เจริญเหรียญ ที่กรุณาให้ความอนุเคราะห์กาน้ำตาลในการทำวิจัย
บริษัท เฮกซ่าไทยแลนด์ จำกัด บริษัท เฟอร์โรเคมีคอล จำกัด บริษัท วิศวกรรมเคมี จำกัด
บริษัท เวลแมน จำกัด ที่กรุณาให้ความอนุเคราะห์สารเคมีในการทำวิจัย

ขอขอบคุณ คุณณรงค์ หอมจันทร์ คุณเลอศักดิ์ พร้อมสงฆ์ คุณทิพวรรณ ว่องวิวิธกุล ที่ให้
ความช่วยเหลือและแนะนำการใช้เครื่องมือวิเคราะห์ต่าง ๆ ในการทำวิจัย รวมทั้งนักวิจัย และ
เจ้าหน้าที่ห้องปฏิบัติการประจำสถาบันเทคโนโลยีชีวภาพฯ ที่ได้ให้ความช่วยเหลือในการทำวิจัย

ขอขอบคุณ คุณจิรวรรณ อภิรักษากร ที่ให้ความช่วยเหลือและเป็นกำลังใจแก่ผู้วิจัยจนงาน
วิจัยนี้สำเร็จลุล่วงด้วยดี และขอขอบคุณ พี่ เพื่อน และน้อง สาขาวิศวกรรมไฟฟ้า ชีววิทยา เคมี
เทคโนโลยีชีวภาพ และ Aggie ทุกคนที่ให้ความช่วยเหลือและให้กำลังใจด้วยดีตลอดมา

ขอกราบขอบพระคุณ ศ. ดร. ประสิทธิ์ ประพัฒน์มงคลการ ที่ให้การสนับสนุนการศึกษา
แก่ผู้วิจัยมาตลอด และ ศ. ดร. พีระศักดิ์ ศรีนิเวศน์ ที่ให้กำลังใจอันสำคัญยิ่ง

ขอกราบขอบพระคุณ บิดา มารดา ที่ให้ความรักและผูกพัน เข้าใจผู้วิจัยเสมอมา และพี่ชาย
น้องชายที่ช่วยเหลือ และเป็นกำลังใจอันมีค่าต่อผู้วิจัยตลอดมา

สุดท้ายนี้ความดีในการศึกษาระดับปริญญาโทบริหารธุรกิจ ขออุทิศแด่คุณย่าที่เป็นที่รักยิ่ง

สารบัญ

หน้า

บทคัดย่อภาษาไทย	ง
บทคัดย่อภาษาอังกฤษ	จ
กิตติกรรมประกาศ	ฉ
สารบัญ	ช
สารบัญตาราง	ฐ
สารบัญรูป	ถ
คำอธิบายสัญลักษณ์และคำย่อ	ป
1. บทนำ	
1.1 กากน้ำตาลอ้อย	1
1.2 องค์ประกอบ และคุณสมบัติทางเคมีของกากน้ำตาล	4
1.3 จุลินทรีย์ที่สำคัญในกระบวนการหมัก	8
1.4 ปัจจัยที่เกี่ยวข้องกับการหมักยีสต์เพื่อผลิตแอลกอฮอล์	10
1.5 ผลของสารประกอบควอเทอร์นารีแอมโมเนียม	11
1.6 จลนพลศาสตร์เคมี	14
1.7 มูลเหตุจูงใจ	18
1.8 วัตถุประสงค์ของงานวิจัย	18
1.9 ขอบเขตของงานวิจัย	18
2. วิธีการทดลอง	
2.1 อุปกรณ์ และสารเคมีที่ใช้ในการทดลอง	19
2.2 กากน้ำตาลที่ใช้ในงานวิจัย	21
2.3 เชื้อจุลินทรีย์ การเก็บรักษา และการเลี้ยงเชื้อจุลินทรีย์ที่ใช้ในการทดลอง	21
2.4 วิธีดำเนินงานวิจัย	22
2.5 วิธีการวิเคราะห์	25
3. ผลการทดลอง	
3.1 การวิเคราะห์คุณสมบัติทั่วไปของกากน้ำตาลที่นำมาใช้ในการทดลอง	30
3.1.1 การวิเคราะห์คุณสมบัติทั่วไปของกากน้ำตาล	30

สารบัญ (ต่อ)

	หน้า
3.1.2 การวิเคราะห์ธาตุไนโตรเจน (N) คาร์บอน (C) ไฮโดรเจน (H) และซัลเฟอร์ (S) โดยเครื่อง Elemental Analyzer (NA 2000)	32
3.2 การวิเคราะห์หาปริมาณสารประกอบควอเตอร์นารีแอมโมเนียม	33
3.2.1 การหาความยาวคลื่นแสงที่เหมาะสมในการวัดค่าการดูดกลืนแสงของสารประกอบเชิงซ้อนระหว่าง QAC กับโบรโมฟินอลบลู	33
3.2.2 การสร้างกราฟมาตรฐานของสาร QAC ที่เติมในน้ำขจัดไขมัน	34
3.2.3 การทดสอบวิธีวิเคราะห์หาปริมาณสาร QAC ที่ใช้ในโรงงานน้ำตาล	36
3.2.4 การศึกษาความเที่ยงในการใช้สมการถดถอยเชิงเส้นตรงที่คำนวณได้	38
3.2.5 การศึกษาอิทธิพลของสีต่อการวิเคราะห์หาปริมาณสาร QAC	40
3.2.6 การทดสอบวิธีวิเคราะห์โบรโมฟินอลบลูกับสารลดแรงตึงผิว	43
3.2.7 การศึกษาอิทธิพลที่ความเข้มข้นระดับต่าง ๆ ของกากน้ำตาลต่อการวิเคราะห์หาปริมาณสาร QAC	45
3.3 การวิเคราะห์หาปริมาณสาร QAC ในกากน้ำตาล	49
3.3.1 การวิเคราะห์หาปริมาณสาร QAC ในกากน้ำตาลจากโรงงาน A	51
3.3.2 การวิเคราะห์หาปริมาณสาร QAC ในกากน้ำตาลจากโรงงาน B	52
3.3.3 การวิเคราะห์หาปริมาณสาร QAC ในกากน้ำตาลจากโรงงาน C	54
3.3.4 การวิเคราะห์หาปริมาณสาร QAC ในกากน้ำตาลจากโรงงาน D	55
3.4 การประเมินผลยับยั้งของสาร QAC ต่อการเจริญและการหมักเอธานอลด้วยยีสต์ <i>Saccharomyces</i> sp.	57
3.4.1 การศึกษาลักษณะการเจริญของยีสต์ <i>Saccharomyces</i> sp. ในอาหารสำหรับเตรียมหัวเชื้อ	57
3.4.2 การศึกษาการเจริญและการหมักเอธานอลจากอาหารกากน้ำตาล ด้วยยีสต์ <i>Saccharomyces</i> sp.	59
3.4.3 การศึกษาผลยับยั้งของสารประกอบควอเตอร์นารีแอมโมเนียมต่อการเจริญ และการหมักเอธานอลจากกากน้ำตาลด้วยยีสต์ <i>Saccharomyces</i> sp.	62

สารบัญ (ต่อ)

	หน้า
3.5 การศึกษาผลของการเปลี่ยนแปลงอุณหภูมิต่อปริมาณสารประกอบควอเทอร์นารีแอมโมเนียม	70
3.5.1 ศึกษาผลของการเปลี่ยนแปลงอุณหภูมิต่อปริมาณสาร QAC ที่เติมในน้ำจืดไอออน	70
3.5.2 ศึกษาผลของการเปลี่ยนแปลงอุณหภูมิต่อปริมาณสาร QAC ที่เติมในกากน้ำตาล	74
3.5.2.1 ผลของอุณหภูมิต่อปริมาณสาร QAC ที่เติมในกากน้ำตาลจากโรงงาน A	74
3.5.2.2 ผลของอุณหภูมิต่อปริมาณสาร QAC ที่เติมในกากน้ำตาลจากโรงงาน B	77
3.5.2.3 ผลของอุณหภูมิต่อปริมาณสาร QAC ที่เติมในกากน้ำตาลจากโรงงาน C	80
3.5.2.4 ผลของอุณหภูมิต่อปริมาณสาร QAC ที่เติมในกากน้ำตาลจากโรงงาน D	83
3.6 การศึกษาค่าทางจลนพลศาสตร์เคมี ของการเปลี่ยนแปลงสารประกอบควอเทอร์นารีแอมโมเนียม	86
3.6.1 ศึกษาค่าทางจลนพลศาสตร์เคมีของการเปลี่ยนแปลงสารประกอบควอเทอร์นารีแอมโมเนียมในน้ำจืดไอออน	86
3.6.1.1 ศึกษาค่าการลดลงครึ่งหนึ่งของปฏิกิริยา (half-life)	89
3.6.1.2 ศึกษาผลของการเปลี่ยนแปลงอุณหภูมิต่ออัตราการเกิดปฏิกิริยา	90
3.6.2 ศึกษาค่าทางจลนพลศาสตร์เคมีของการเปลี่ยนแปลงสารประกอบควอเทอร์นารีแอมโมเนียมในสารละลายกากน้ำตาล	92
3.6.2.1 ศึกษาค่าการลดลงครึ่งหนึ่งของปฏิกิริยา	95
3.6.2.2 ศึกษาผลของการเปลี่ยนแปลงอุณหภูมิต่ออัตราการเกิดปฏิกิริยา	95
3.7 การศึกษาการลดปริมาณของสารประกอบควอเทอร์นารีแอมโมเนียมในกากน้ำตาล โดยการปั่นแยกตะกอนออก	97
3.7.1 การลดปริมาณสาร QAC ในกากน้ำตาลจากโรงงาน A โดยการปั่นแยกตะกอน	97

สารบัญ (ต่อ)

	หน้า
3.7.2 การลดปริมาณสาร QAC ในกากน้ำตาลจากโรงงาน B โดย การปั่นแยกตะกอน	99
3.7.3 การลดปริมาณสาร QAC ในกากน้ำตาลจากโรงงาน C โดย การปั่นแยกตะกอน	101
3.7.4 การลดปริมาณสาร QAC ในกากน้ำตาลจากโรงงาน D โดย การปั่นแยกตะกอน	103
4. สรุปและวิจารณ์ผลการทดลอง	105
รายการอ้างอิง	110
ภาคผนวก	
ก. สูตรอาหารที่ใช้ในงานวิจัย	115
ข. การเตรียมสารเคมีที่ใช้ในงานวิจัย	116
ค. สูตรการคำนวณค่าทางสถิติ	119
ง. กราฟมาตรฐาน	122
ประวัติผู้เขียน	125

สารบัญตาราง

ตารางที่		หน้า
1	ปริมาณการผลิตกากน้ำตาลของประเทศไทย	3
2	การส่งออกกากน้ำตาลของประเทศไทย	3
3	ราคาจำหน่ายกากน้ำตาลภายในประเทศ และต่างประเทศ	4
4	ส่วนประกอบส่วนใหญ่ของกากน้ำตาลในประเทศ	7
5	คุณลักษณะทางเคมีของกากน้ำตาล ตามมาตรฐานผลิตภัณฑ์อุตสาหกรรม	7
6	เปรียบเทียบคุณสมบัติทั่วไปของกากน้ำตาลที่ใช้ในการทดลอง	30
7	เปรียบเทียบธาตุ N, C, H และ S ในกากน้ำตาล วิเคราะห์โดยเครื่อง Elemental Analyzer (NA 2000)	32
8	ค่าการดูดกลืนแสงของสารละลายมาตรฐาน QAC ที่เติมในน้ำขจัดไอออน	34
9	ค่าการดูดกลืนแสงของ Hexemine X-100 [®] ในน้ำขจัดไอออน	37
10	เปรียบเทียบค่าการดูดกลืนแสงที่ 610 นาโนเมตร ของสารละลายมาตรฐาน QAC ที่เติมในน้ำขจัดไอออนที่มีสาร QAC อยู่ก่อนในปริมาณ 1 ไมโครกรัม ต่อมิลลิลิตร	38
11	ความเข้มข้นของสาร QAC ที่คำนวณจากการนำค่าการดูดกลืนแสงที่ 610 นาโนเมตร ในน้ำขจัดไอออนที่มีสาร QAC อยู่ก่อนในปริมาณ 1 ไมโครกรัมต่อ มิลลิลิตร มาแทนในสมการมาตรฐาน $Y = -0.1279 + 0.0917X$	39
12	ค่าการดูดกลืนแสงที่ความเข้มข้นต่าง ๆ ของสาร QAC ที่เติมในสารละลาย การรามล	42
13	เปรียบเทียบผลของความเข้มข้นกากน้ำตาลที่ระดับต่าง ๆ ต่อค่าการดูดกลืนแสง ที่ 610 นาโนเมตร	46
14	เปรียบเทียบผลของความเข้มข้นกากน้ำตาลที่ระดับต่าง ๆ ต่อค่าการดูดกลืนแสง ที่ 610 นาโนเมตร	47
15	ค่าการดูดกลืนแสงที่ความเข้มข้นต่าง ๆ ของสารละลายมาตรฐาน QAC ที่เติม ในสารละลายกากน้ำตาลเข้มข้น 0.2 มิลลิกรัมต่อมิลลิลิตร (กากน้ำตาลจาก โรงงาน A)	51

สารบัญตาราง (ต่อ)

ตารางที่		หน้า
16	ค่าการดูดกลืนแสงที่ความเข้มข้นต่าง ๆ ของสารละลายมาตรฐาน QAC ที่เติมในสารละลายกากน้ำตาลเข้มข้น 0.2 มิลลิกรัมต่อมิลลิลิตร (กากน้ำตาลจากโรงงาน B)	52
17	ค่าการดูดกลืนแสงที่ความเข้มข้นต่าง ๆ ของสารละลายมาตรฐาน QAC ที่เติมในสารละลายกากน้ำตาลเข้มข้น 0.2 มิลลิกรัมต่อมิลลิลิตร (กากน้ำตาลจากโรงงาน C)	54
18	ค่าการดูดกลืนแสงที่ความเข้มข้นต่าง ๆ ของสารละลายมาตรฐาน QAC ที่เติมในสารละลายกากน้ำตาลเข้มข้น 0.2 มิลลิกรัมต่อมิลลิลิตร (กากน้ำตาลจากโรงงาน D)	55
19	เปรียบเทียบปริมาณสาร QAC ในกากน้ำตาลแต่ละโรงงาน	56
20	น้ำหนักเซลล์แห้งของยีสต์ <i>Saccaromyces</i> sp. ในอาหารเหลวสำหรับเตรียมหัวเชื้อที่ระยะเวลาต่าง ๆ	57
21	ค่าน้ำหนักเซลล์แห้ง จำนวนเซลล์ทั้งหมด ปริมาณน้ำตาลที่เหลือ และปริมาณเอธานอล ที่ผลิตโดยยีสต์ <i>Saccharomyces</i> sp. ในการหมักเอธานอลจากอาหารกากน้ำตาล โดยทำการหมักในสภาพ static culture ที่อุณหภูมิ 30 องศาเซลเซียส ในระดับขวดชมพูที่ปิดจุกด้วยสำลี	60
22	ค่าน้ำหนักเซลล์แห้ง ปริมาณน้ำตาลที่เหลือ และปริมาณเอธานอล ที่ระยะเวลาต่าง ๆ ในการหมักเอธานอลด้วยยีสต์ จากอาหารกากน้ำตาลชุดควบคุม	63
23	ค่าน้ำหนักเซลล์แห้ง ปริมาณน้ำตาลที่เหลือ และปริมาณเอธานอล ที่ระยะเวลาต่าง ๆ ในการหมักเอธานอลด้วยยีสต์ จากอาหารกากน้ำตาลที่เติมสาร QAC 10 ไมโครกรัมต่อมิลลิลิตร	64
24	ค่าน้ำหนักเซลล์แห้ง ปริมาณน้ำตาลที่เหลือ และปริมาณเอธานอล ที่ระยะเวลาต่าง ๆ ในการหมักเอธานอลด้วยยีสต์ จากอาหารกากน้ำตาลที่เติมสาร QAC 50 ไมโครกรัมต่อมิลลิลิตร	65
25	ค่าน้ำหนักเซลล์แห้ง ปริมาณน้ำตาลที่เหลือ และปริมาณเอธานอล ที่ระยะเวลาต่าง ๆ ในการหมักเอธานอลด้วยยีสต์ จากอาหารกากน้ำตาลที่เติมสาร QAC 100 ไมโครกรัมต่อมิลลิลิตร	66

สารบัญตาราง (ต่อ)

ตารางที่		หน้า
26	เปรียบเทียบค่าการดูดกลืนแสงที่ 610 นาโนเมตร ระหว่างน้ำจืดไอออน เดิม สาร QAC กับน้ำจืดไอออนที่เติม QAC แล้วนำไปผ่านความร้อนที่อุณหภูมิ 110 และ 121 องศาเซลเซียส นาน 15 และ 30 นาที	71
27	ความเข้มข้นของสาร QAC จากการคำนวณตามสมการ $Y = -0.1279 + 0.0917X$	71
28	เปรียบเทียบค่าความชันของสมการถดถอยเชิงเส้นตรงจากการเปลี่ยนแปลง อุณหภูมิต่อปริมาณสาร QAC	72
29	เปรียบเทียบค่าการดูดกลืนแสงของสารละลายกากน้ำตาล จากโรงงาน A ที่เติม สาร QAC ความเข้มข้นระดับต่าง ๆ แล้วนำไปผ่านความร้อนที่อุณหภูมิ 110 และ 121 องศาเซลเซียส นาน 15 และ 30 นาที	74
30	ความเข้มข้นของสาร QAC ที่คำนวณโดยการนำค่าการดูดกลืนแสงที่วัดได้มา แทนตามสมการ $Y = -0.1279 + 0.0917X$	75
31	เปรียบเทียบค่าการดูดกลืนแสงของสารละลายกากน้ำตาล จากโรงงาน B ที่เติม สาร QAC ความเข้มข้นระดับต่าง ๆ แล้วนำไปผ่านความร้อนที่อุณหภูมิ 110 และ 121 องศาเซลเซียส นาน 15 และ 30 นาที	77
32	ความเข้มข้นของสาร QAC ที่คำนวณโดยการนำค่าการดูดกลืนแสงที่วัดได้มา แทนตามสมการ $Y = -0.1279 + 0.0917X$	77
33	เปรียบเทียบค่าการดูดกลืนแสงของสารละลายกากน้ำตาล จากโรงงาน C ที่เติม สาร QAC ความเข้มข้นระดับต่าง ๆ แล้วนำไปผ่านความร้อนที่อุณหภูมิ 110 และ 121 องศาเซลเซียส นาน 15 และ 30 นาที	80
34	ความเข้มข้นของสาร QAC ที่คำนวณโดยการนำค่าการดูดกลืนแสงที่วัดได้มา แทนตามสมการ $Y = -0.1279 + 0.0917X$	80
35	เปรียบเทียบค่าการดูดกลืนแสงของสารละลายกากน้ำตาล จากโรงงาน D ที่เติม สาร QAC ความเข้มข้นระดับต่าง ๆ แล้วนำไปผ่านความร้อนที่อุณหภูมิ 110 และ 121 องศาเซลเซียส นาน 15 และ 30 นาที	83
36	ความเข้มข้นของสาร QAC ที่คำนวณโดยการนำค่าการดูดกลืนแสงที่วัดได้มา แทนตามสมการ $Y = -0.1279 + 0.0917X$	83

สารบัญตาราง (ต่อ)

ตาราง	หน้า	
37	เปรียบเทียบผลของอุณหภูมิที่ 100, 110 และ 121 องศาเซลเซียส ในช่วงเวลาต่าง ๆ ต่อค่าการดูดกลืนแสงที่ 610 นาโนเมตร ของสาร QAC ความเข้มข้น 10 ไมโครกรัมต่อมิลลิลิตร ในน้ำขจัดไอออน	86
38	เปรียบเทียบผลของอุณหภูมิที่ 100, 110 และ 121 องศาเซลเซียส ในช่วงเวลาต่าง ๆ ต่อการลดปริมาณของสาร QAC ที่ความเข้มข้น 10 ไมโครกรัมต่อมิลลิลิตร	87
39	เปรียบเทียบค่า $\ln (c_0/c)$ ของสาร QAC ที่เติมในน้ำขจัดไอออน ที่อุณหภูมิและช่วงเวลาต่าง ๆ	88
40	แสดงความสัมพันธ์ของค่าส่วนกลับของอุณหภูมิในองศาสัมบูรณ์ ($1/T$) กับ $\ln k$ ในสมการ Arrhenius	90
41	เปรียบเทียบผลของความร้อนที่อุณหภูมิ 100, 110 และ 121 องศาเซลเซียส ในช่วงเวลาต่าง ๆ ต่อค่าการดูดกลืนแสงที่ 610 นาโนเมตร ของสาร QAC ความเข้มข้น 30 ไมโครกรัมต่อมิลลิลิตร ในสารละลายกากน้ำตาล	92
42	เปรียบเทียบผลของอุณหภูมิที่ 100, 110 และ 121 องศาเซลเซียส ในช่วงเวลาต่าง ๆ ต่อปริมาณสาร QAC ที่ความเข้มข้น 30 ไมโครกรัมต่อมิลลิลิตร ในสารละลายกากน้ำตาล	93
43	เปรียบเทียบค่า $\ln (c_0/c)$ ของสาร QAC ความเข้มข้น 30 ไมโครกรัมต่อมิลลิลิตร ในสารละลายกากน้ำตาลที่อุณหภูมิ 100, 110 และ 121 องศาเซลเซียส ในช่วงเวลาต่าง ๆ	93
44	แสดงความสัมพันธ์ของค่าส่วนกลับของอุณหภูมิในองศาสัมบูรณ์ ($1/T$) กับ $\ln k$ ในสมการ Arrhenius	96
45	เปรียบเทียบค่าการดูดกลืนแสงของสารละลายกากน้ำตาลจากโรงงาน A ที่เติมสาร QAC ในความเข้มข้นต่าง ๆ แล้วไม่ปั่นแยกตะกอนกับที่นำไปปั่นแยกตะกอน	97
46	เปรียบเทียบความเข้มข้นของสาร QAC จากการคำนวณ ระหว่างสารละลายกากน้ำตาลจากโรงงาน A ที่ไม่ปั่นแยกตะกอนกับที่ปั่นแยกตะกอน	98

สารบัญตาราง (ต่อ)

ตารางที่		หน้า
47	เปรียบเทียบค่าการดูดกลืนแสงของสารละลายกากน้ำตาลจากโรงงาน B ที่เติมสาร QAC ในความเข้มข้นต่าง ๆ แล้วไม่ปั่นแยกตะกอนกับที่นำไปปั่นแยกตะกอน	99
48	เปรียบเทียบความเข้มข้นของสาร QAC จากการคำนวณ ระหว่างสารละลายกากน้ำตาลจากโรงงาน B ที่ไม่ปั่นแยกตะกอนกับที่ปั่นแยกตะกอน	99
49	เปรียบเทียบค่าการดูดกลืนแสงของสารละลายกากน้ำตาลจากโรงงาน C ที่เติมสาร QAC ในความเข้มข้นต่าง ๆ แล้วไม่ปั่นแยกตะกอนกับที่นำไปปั่นแยกตะกอน	101
50	เปรียบเทียบความเข้มข้นของสาร QAC จากการคำนวณ ระหว่างสารละลายกากน้ำตาลจากโรงงาน C ที่ไม่ปั่นแยกตะกอนกับที่ทำการปั่นแยกตะกอน	101
51	เปรียบเทียบค่าการดูดกลืนแสงของสารละลายกากน้ำตาลจากโรงงาน D ที่เติมสาร QAC ในความเข้มข้นต่าง ๆ แล้วไม่ปั่นแยกตะกอนกับที่นำไปปั่นแยกตะกอน	103
52	เปรียบเทียบความเข้มข้นของสาร QAC จากการคำนวณระหว่างสารละลายกากน้ำตาลจากโรงงาน D ที่ไม่ปั่นแยกตะกอนกับที่ปั่นแยกตะกอน	103
ข-1.	แสดงความสัมพันธ์ระหว่างปริมาณเอธานอล (มิลลิกรัมต่อมิลลิลิตร) กับค่าสัดส่วนเฉลี่ยของพื้นที่ได้กราฟของสารละลายเอธานอลที่ความเข้มข้นระดับต่าง ๆ หาดด้วยพื้นที่ใต้พิภของสารละลายมาตรฐานภายใน	118
ค-1.	การคำนวณสมการถดถอยเชิงเส้นของความสัมพันธ์ระหว่างความเข้มข้นของ QAC ที่เติมในน้ำจืดไออนกับค่าการดูดกลืนแสง	120
ง-1.	แสดงความสัมพันธ์ระหว่างความเข้มข้นของน้ำตาลซูโครสกับค่าการดูดกลืนแสงที่ 540 นาโนเมตร	122
ง-2.	แสดงความสัมพันธ์ระหว่างความเข้มข้นของน้ำตาลรีดิวิซ์กับค่าการดูดกลืนแสงที่ 540 นาโนเมตร	123

สารบัญรูป

รูปที่		หน้า
1	แผนผังแสดงกระบวนการผลิตน้ำตาลทรายจากอ้อยในโรงงานน้ำตาล	2
2	ส่วนประกอบของกากน้ำตาลอ้อย	6
3	วิถีไกลโคไลซิส หรือ Embden-Meyerhof-Parnas pathway ของกระบวนการหมัก	9
4	สูตรโครงสร้างทั่วไปของ quaternary ammonium compounds (QAC)	12
5	เปรียบเทียบคุณสมบัติทั่วไปของกากน้ำตาลที่ใช้ในการทดลอง	31
6	การตรวจหาช่วงความยาวคลื่นที่เหมาะสมในการวิเคราะห์หาปริมาณสาร QAC	33
7	กราฟมาตรฐานการวิเคราะห์หาปริมาณ QAC ที่ระดับความเข้มข้นต่าง ๆ ที่เติมใน น้ำขจัดไอออน	35
8	การตรวจหาช่วงความยาวคลื่นที่เหมาะสมในน้ำขจัดไอออนที่เติม Hexamine X-100 [®]	36
9	กราฟการวิเคราะห์หาปริมาณสาร Hexamine X-100 [®] ที่เติมในน้ำขจัดไอออน	37
10	เปรียบเทียบค่าการดูดกลืนแสงระหว่างสารละลายมาตรฐาน QAC ที่เติมใน น้ำขจัดไอออนกับน้ำขจัดไอออนที่มี QAC อยู่ก่อนในปริมาณ 1 ไมโครกรัม ต่อมิลลิลิตร	39
11	กราฟแสดงความสัมพันธ์ระหว่างความเข้มข้น QAC ที่เติม (µg/ml) กับความ เข้มข้น QAC ที่คำนวณ (µg/ml)	40
12	การตรวจหาช่วงความยาวคลื่นแสงที่เหมาะสมในการวิเคราะห์หาปริมาณสาร QAC ที่เติมในสารละลายคาราเมล	41
13	กราฟผลการวิเคราะห์หาปริมาณ QAC ที่เติมในสารละลายคาราเมล	42
14	ค่าการดูดกลืนแสงของสารละลายผงซักฟอก ซันไลต์ [®] และ tween 80 เมื่อวิเคราะห์หาปริมาณ QAC ด้วยวิธีโบรมอีนอลบลู ที่ช่วงความยาวคลื่น 200 - 700 นาโนเมตร	44
15	แผนผังแสดงขั้นตอนการศึกษาอิทธิพลของกากน้ำตาลจากโรงงาน A ที่ความ เข้มข้นระดับต่าง ๆ ที่มีต่อการวิเคราะห์หาปริมาณสาร QAC ในกากน้ำตาล	45
16	ผลของความเข้มข้นกากน้ำตาลที่ระดับความเข้มข้นต่าง ๆ ต่อการวิเคราะห์หา ปริมาณสาร QAC	46

สารบัญรูป (ต่อ)

รูปที่	หน้า
17	แผนผังแสดงขั้นตอนการศึกษาอิทธิพลที่ความเข้มข้นระดับต่าง ๆ ของกากน้ำตาลจากโรงงาน B ต่อการวิเคราะห์หาปริมาณสาร QAC ในกากน้ำตาล 47
18	ผลของความเข้มข้นกากน้ำตาลที่ระดับต่าง ๆ ต่อการวิเคราะห์หาปริมาณสาร QAC 48
19	แผนผังแสดงขั้นตอนการวิเคราะห์หาปริมาณสาร QAC ในกากน้ำตาล 49
20	การตรวจหาช่วงความยาวคลื่นตั้งแต่ 200 - 700 นาโนเมตร จากการวิเคราะห์หาปริมาณ QAC ในตัวอย่างกากน้ำตาล 49
21	แผนผังแสดงขั้นตอนการวิเคราะห์หาปริมาณสาร QAC ในกากน้ำตาล โดยเทคนิค standard addition curve 50
22	การตรวจหาช่วงความยาวคลื่นตั้งแต่ 200 -700 นาโนเมตร จากการวิเคราะห์หาปริมาณสาร QAC ที่เติมลงในตัวอย่างกากน้ำตาล โดยเทคนิค standard addition curve 50
23	กราฟการวิเคราะห์หาปริมาณสาร QAC ในตัวอย่างกากน้ำตาลจากโรงงาน A ที่ความเข้มข้น 0.2 มิลลิกรัมต่อมิลลิลิตร โดยเทคนิค standard addition 51
24	กราฟการวิเคราะห์หาปริมาณสาร QAC ในตัวอย่างกากน้ำตาลจากโรงงาน B ที่ความเข้มข้น 0.2 มิลลิกรัมต่อมิลลิลิตร โดยเทคนิค standard addition 53
25	กราฟการวิเคราะห์หาปริมาณสาร QAC ในตัวอย่างกากน้ำตาลจากโรงงาน C ที่ความเข้มข้น 0.2 มิลลิกรัมต่อมิลลิลิตร โดยเทคนิค standard addition 54
26	กราฟแสดงการวิเคราะห์หาปริมาณสาร QAC ในตัวอย่างกากน้ำตาลจากโรงงาน D ที่ความเข้มข้น 0.2 มิลลิกรัมต่อมิลลิลิตร โดยเทคนิค standard addition 56
27	ลักษณะการเจริญของยีสต์ <i>Saccharomyces</i> sp. ในอาหารเหลว สำหรับเตรียมหัวเชื้อที่ระยะเวลาต่าง ๆ 58
28	ค่าน้ำหนักเซลล์แห้ง ปริมาณน้ำตาลที่เหลือ และปริมาณเอทานอลที่ผลิตโดยยีสต์ <i>Saccharomyces</i> sp. จากอาหารกากน้ำตาล โดยทำการหมักในสภาพ static culture ที่อุณหภูมิ 30 องศาเซลเซียส ในระดับขวดชมพูที่ปิดจุกด้วยสำลี 61
29	ค่าน้ำหนักเซลล์แห้ง ปริมาณน้ำตาลที่เหลือ ปริมาณเอทานอลที่ระยะเวลาต่าง ๆ ในการหมักเอทานอลด้วยยีสต์ จากอาหารกากน้ำตาลชุดควบคุม 67

สารบัญรูป (ต่อ)

รูปที่		หน้า
30	ค่าน้ำหนักเซลล์แห้ง ปริมาณน้ำตาลที่เหลือ และปริมาณเอธานอลที่ระยะเวลาต่าง ๆ ในการหมักเอธานอลด้วยยีสต์ จากอาหารกากน้ำตาลที่มีสาร QAC 10 ไมโครกรัม ต่อมิลลิลิตร	67
31	ค่าน้ำหนักเซลล์แห้ง ปริมาณน้ำตาลที่เหลือ และปริมาณเอธานอลที่ระยะเวลาต่าง ๆ ในการหมักเอธานอลด้วยยีสต์ จากอาหารกากน้ำตาลที่มีสาร QAC 50 ไมโครกรัม ต่อมิลลิลิตร	68
32	ค่าน้ำหนักเซลล์แห้ง ปริมาณน้ำตาลที่เหลือ และปริมาณเอธานอลที่ระยะเวลาต่าง ๆ ในการหมักเอธานอลด้วยยีสต์ จากอาหารกากน้ำตาลที่มีสาร QAC 100 ไมโครกรัม ต่อมิลลิลิตร	68
33	ผลของสาร QAC ต่อการเจริญ และการหมักเอธานอล จากอาหารกากน้ำตาลที่ เติมสาร QAC ที่ระดับความเข้มข้นต่าง ๆ	69
34	กราฟผลของการเปลี่ยนแปลงอุณหภูมิต่อความเข้มข้นของสาร QAC ที่ได้จากการ คำนวณตามสมการมาตรฐาน $Y = -0.1279 + 0.0917X$	72
35	กราฟผลของการเปลี่ยนแปลงอุณหภูมิต่อปริมาณสาร QAC ในน้ำจืดไอออน โดย เปรียบเทียบค่าความชื้นจากสมการถดถอยในรูปที่ 34	73
36	กราฟผลของอุณหภูมิ 110 องศาเซลเซียสต่อการเปลี่ยนแปลงของสาร QAC ที่ได้ จากการคำนวณตามสมการมาตรฐาน $Y = -0.1279 + 0.0917X$	75
37	กราฟแสดงผลของอุณหภูมิ 121 องศาเซลเซียสต่อการเปลี่ยนแปลงของสาร QAC ที่ได้จากการคำนวณตามสมการมาตรฐาน $Y = -0.1279 + 0.0917X$	76
38	กราฟแสดงผลของการเปลี่ยนแปลงอุณหภูมิต่อปริมาณสาร QAC ในกากน้ำตาล จากโรงงาน A โดยเปรียบเทียบความชื้นของสมการถดถอยจากรูปที่ 36 และ 37 ...	76
39	กราฟผลของอุณหภูมิ 110 องศาเซลเซียสต่อการเปลี่ยนแปลงของสาร QAC ที่ได้ จากการคำนวณตามสมการมาตรฐาน $Y = -0.1279 + 0.0917X$	78
40	กราฟผลของอุณหภูมิ 121 องศาเซลเซียสต่อการเปลี่ยนแปลงของสาร QAC ที่ได้ จากการคำนวณตามสมการมาตรฐาน $Y = -0.1279 + 0.0917X$	78
41	กราฟผลของการเปลี่ยนแปลงอุณหภูมิต่อปริมาณสาร QAC ในกากน้ำตาล จาก โรงงาน B โดยเปรียบเทียบความชื้นของสมการถดถอยจากรูปที่ 38 และ 39	79

สารบัญรูป (ต่อ)

รูปที่		หน้า
42	กราฟผลของอุณหภูมิ 110 องศาเซลเซียสต่อการเปลี่ยนแปลงของสาร QAC ที่ได้จากการคำนวณตามสมการมาตรฐาน $Y = -0.1279 + 0.0917X$	81
43	กราฟผลของอุณหภูมิ 121 องศาเซลเซียสต่อการเปลี่ยนแปลงของสาร QAC ที่ได้จากการคำนวณตามสมการมาตรฐาน $Y = -0.1279 + 0.0917X$	81
44	กราฟผลของการเปลี่ยนแปลงอุณหภูมิต่อปริมาณสาร QAC ในกากน้ำตาลจากโรงงาน C โดยเปรียบเทียบความชันของสมการถดถอยจากรูปที่ 42 และ 43	82
45	กราฟผลของอุณหภูมิ 110 องศาเซลเซียสต่อการเปลี่ยนแปลงของสาร QAC ที่ได้จากการคำนวณตามสมการมาตรฐาน $Y = -0.1279 + 0.0917X$	84
46	กราฟผลของอุณหภูมิ 121 องศาเซลเซียสต่อการเปลี่ยนแปลงของสาร QAC ที่ได้จากการคำนวณตามสมการมาตรฐาน $Y = -0.1279 + 0.0917X$	84
47	กราฟผลของการเปลี่ยนแปลงอุณหภูมิต่อปริมาณสาร QAC ในกากน้ำตาลจากโรงงาน D โดยเปรียบเทียบความชันของสมการถดถอยจากรูปที่ 45 และ 46	85
48	กราฟค่า $\ln (c_0/c)$ ของน้ำจืดไอออนที่เติมสาร QAC ที่อุณหภูมิ 100,110 และ 121 องศาเซลเซียสและช่วงเวลาต่าง ๆ	88
49	กราฟแสดงความสัมพันธ์ระหว่างส่วนกลับของอุณหภูมิในองศาสัมบูรณ์กับ $\ln k$ ตามสมการ Arrhenius	91
50	กราฟแสดงค่า $\ln (c_0/c)$ ของสาร QAC 30 ไมโครกรัมต่อมิลลิลิตร ในสารละลายกากน้ำตาล	94
51	กราฟแสดงความสัมพันธ์ระหว่างส่วนกลับของอุณหภูมิในองศาสัมบูรณ์กับ $\ln k$ ตามสมการ Arrhenius	96
52	กราฟการวิเคราะห์หาปริมาณสาร QAC ในสารละลายกากน้ำตาล จากโรงงาน A ที่ไม่ปั่นแยกตะกอนออกกับที่ปั่นแยกตะกอนออกแล้ว	98
53	กราฟการวิเคราะห์หาปริมาณสาร QAC ในสารละลายกากน้ำตาล จากโรงงาน B ที่ไม่ปั่นแยกตะกอนออกกับที่ปั่นแยกตะกอนออกแล้ว	100
54	กราฟการวิเคราะห์หาปริมาณสาร QAC ในสารละลายกากน้ำตาล จากโรงงาน C ที่ไม่ปั่นแยกตะกอนออกกับที่ปั่นแยกตะกอนออกแล้ว	102
55	กราฟการวิเคราะห์หาปริมาณสาร QAC ในสารละลายกากน้ำตาล จากโรงงาน D ที่ไม่ปั่นแยกตะกอนออกกับที่ปั่นแยกตะกอนออกแล้ว	104

สารบัญรูป (ต่อ)

รูปที่		หน้า
ข-1	กราฟมาตรฐานสำหรับหาปริมาณเอธานอล	118
ง-1	กราฟมาตรฐานสำหรับหาปริมาณน้ำตาลซูโครส ในช่วงความเข้มข้นของน้ำตาล ซูโครส 0.0 - 1.0 กรัมต่อลิตร	122
ง-2	กราฟมาตรฐานสำหรับหาปริมาณน้ำตาลรีดิวิซ์ ในช่วงความเข้มข้นของน้ำตาล กลูโคส 0.0 -1.0 กรัมต่อลิตร	123
ง-3	ลักษณะโครมาโตแกรมของเอธานอล เมื่อใช้โพรพานอลเป็นสารมาตรฐาน เปรียบเทียบภายในวิเคราะห์ด้วยเครื่องแกสโครมาโทกราฟี (GC)	124

คำอธิบายสัญลักษณ์และคำย่อ

%	=	เปอร์เซ็นต์
%(w/w)	=	เปอร์เซ็นต์โดยน้ำหนักต่อน้ำหนัก
%(w/v)	=	เปอร์เซ็นต์โดยน้ำหนักต่อปริมาตร
g	=	กรัม
µg	=	ไมโครกรัม
ml	=	มิลลิลิตร
มล.	=	มิลลิลิตร
มก.	=	มิลลิกรัม
นน.	=	น้ำหนักร
min ⁻¹	=	ต่อนาที
s ⁻¹	=	ต่อวินาที
k	=	ค่าคงที่ของอัตราการสลายตัวของสาร QAC
t _{1/2}	=	ค่าการลดลงครึ่งหนึ่งของปฏิกิริยา
Ea	=	ค่าพลังงานกระตุ้น
°C	=	องศาเซลเซียส
pH	=	ค่าความเป็นกรด - ด่าง
GC	=	เครื่องแกสโครมาโทกราฟี
QAC	=	สารประกอบควอเทอร์นารีแอมโมเนียม